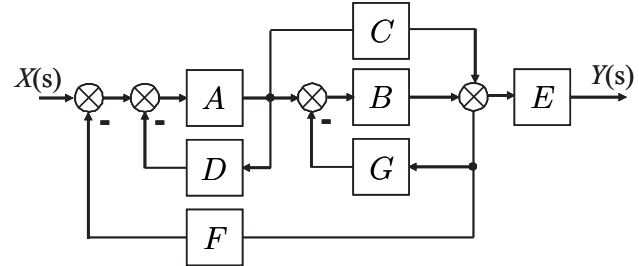


Nome:	
Nr. Mat.	
Firma:	

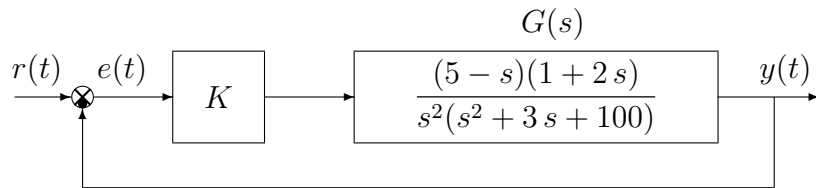
Si risolvano i seguenti esercizi.

a) Relativamente allo schema a blocchi di figura, calcolare la funzione di trasferimento  $G_1(s) = \frac{Y(s)}{X(s)}$

$$G_1(s) = \frac{ABE + ACE}{1 + AD + BG + ABF + ACF + ADBG}$$



b) Sia dato il seguente sistema retroazionato:



b.1) Determinare per quali valori di  $K$  il sistema retroazionato è asintoticamente stabile.

Soluzione.

L'equazione caratteristica del sistema retroazionato è:

$$1 + \frac{K(5 - s)(1 + 2s)}{s^2(s^2 + 3s + 100)} = 0 \quad \rightarrow \quad s^4 + 3s^3 + (100 - 2K)s^2 + 9Ks + 5K = 0.$$

La tabella di Routh ha la seguente struttura:

4	1	100 - 2K	5K
3	3	9K	
2	-15K + 300	15K	
1	9K(-15K + 300) - 45K		
0	15K		

Dalla riga 2 e dalla riga 0 si ricavano i seguenti vincoli:

$$K < \frac{300}{15} = 20, \quad K > 0.$$

Dalla riga 1 si ottiene la seguente disequazione:

$$-135K + 2655 > 0 \quad \rightarrow \quad K < \frac{2655}{135} = \frac{59}{3} = 19.67 = K^*.$$

Quindi il sistema retroazionato è asintoticamente stabile per:

$$0 < K < K^* = 19.67.$$

La pulsazione  $\omega^*$  corrispondente al valore limite  $K^*$  è:

$$\omega^* = \sqrt{3K^*} = \sqrt{59} = 7.6811.$$

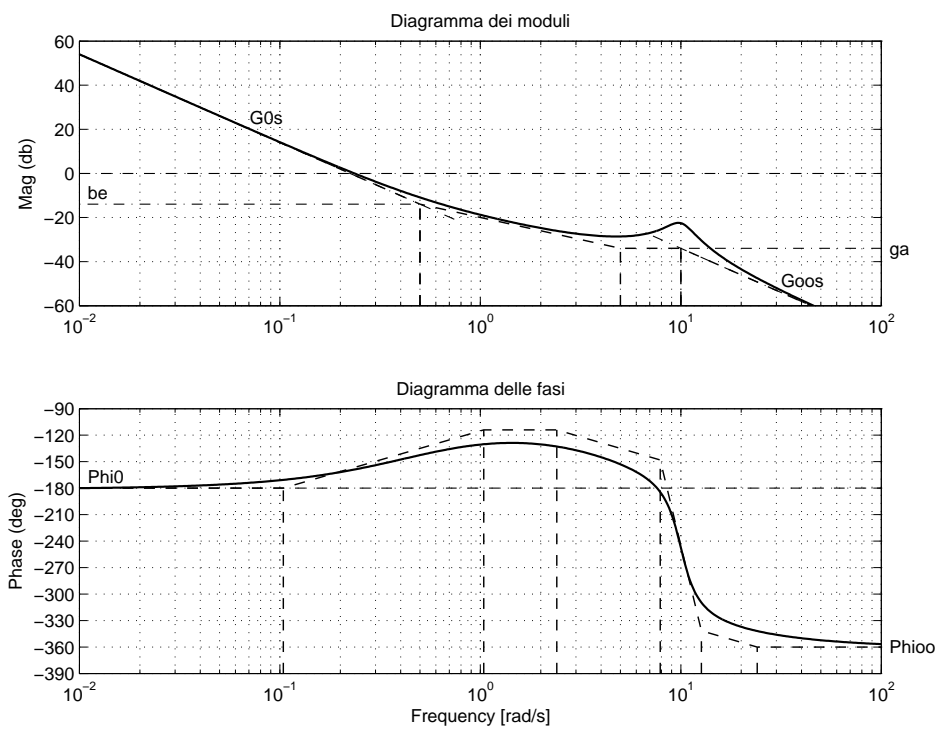


Figura 1: Diagrammi di Bode della funzione  $G(s)$ .

b.2) Tracciare i diagrammi asintotici di Bode delle ampiezze e delle fasi della funzione  $G(s)$ .

Soluzione. I diagrammi di Bode delle ampiezze e delle fasi della funzione  $G(s)$  sono mostrati in Fig. 1. Le funzioni approssimanti  $G_0(s)$  e  $G_\infty(s)$  per  $\omega \rightarrow 0$  ed  $\omega \rightarrow \infty$  sono le seguenti:

$$G_0(s) = \frac{1}{20s^2}, \quad G_\infty(s) = -\frac{2}{s^2}.$$

Le corrispondenti fasi  $\varphi_0$  e  $\varphi_\infty$  hanno il seguente valore:

$$\varphi_0 = -\pi, \quad \varphi_\infty = -2\pi.$$

Sul diagramma asintotico delle ampiezze, il guadagno  $\beta$  in corrispondenza della pulsazione  $\omega = 0.5$  e il guadagno  $\gamma$  in corrispondenza della pulsazione  $\omega = 10$  sono:

$$\beta = \frac{1}{5} \simeq -14 \text{ db}, \quad \gamma = \frac{1}{50} \simeq -34 \text{ db}.$$

b.3) Disegnare qualitativamente il diagramma di Nyquist “completo” della funzione  $G(s)$ . Calcolare esattamente la posizione  $\sigma_a$  di un eventuale asintoto verticale, le eventuali intersezioni  $\sigma_i^*$  con l’asse reale e i corrispondenti valori delle pulsazioni  $\omega_i^*$ .

Soluzione. Il diagramma di Nyquist della funzione  $G(s)$  per  $\omega \in [0, \infty]$  è mostrato in Fig. 2. Il sistema è di tipo 2 per cui non esiste nessun asintoto verticale. La fase iniziale del sistema è  $\varphi_0 = -\pi$ . Per  $\omega \rightarrow 0^+$  il diagramma parte in anticipo rispetto a tale fase in quanto la somma delle costanti di tempo del sistema è positiva:

$$\Delta\tau = 2 - \frac{1}{5} - \frac{3}{100} = 1.77 > 0.$$

La variazione di fase  $\Delta\varphi = -\pi$  che il sistema subisce per  $\omega \in ]0, \infty[$  indica che il vettore  $G(j\omega)$  ruota di  $-\pi$  in senso orario per raggiungere la fase finale  $\varphi_\infty = -2\pi$ . Esiste quindi un’unica intersezione  $\sigma_1^*$  con il semiasse reale positivo. Tale intersezione si determina nel modo seguente:

$$\sigma_1^* = -\frac{1}{K^*} \quad \rightarrow \quad \sigma_1^* = -0.0508.$$

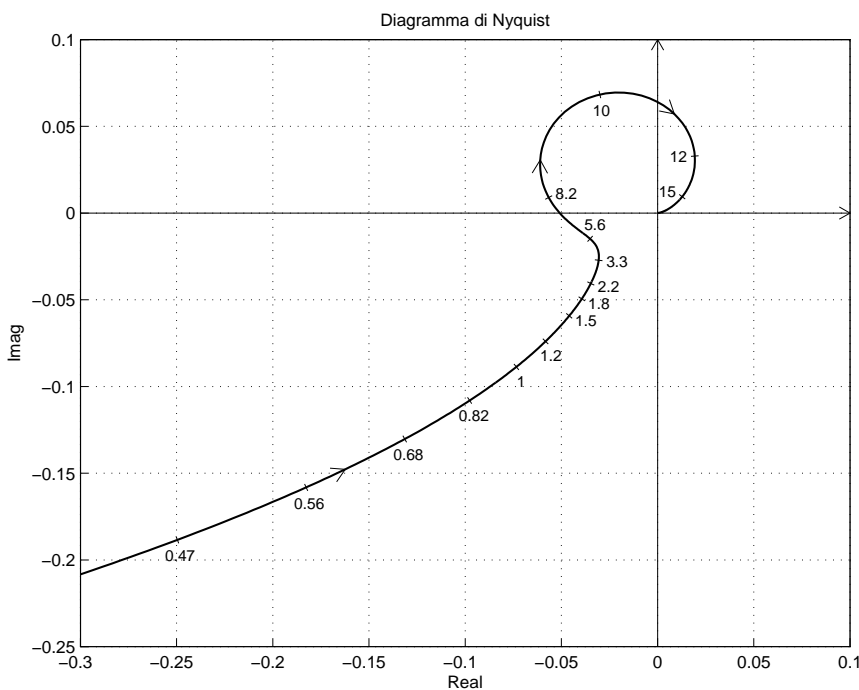


Figura 2: Diagramma di Nyquist della funzione  $G(s)$  per  $\omega \in [0, \infty]$ .

Il corrispondente valore di  $\omega_1^*$  è:  $\omega_1^* = 7.6811$ . Essendo

$$\Delta_p = 5 - \frac{1}{2} + 3 > 0$$

per  $\omega \rightarrow \infty$  il diagramma arriva a zero in anticipo rispetto alla fase finale  $\varphi_\infty = -2\pi$ .

c) Si faccia riferimento ai diagrammi di Bode della funzione  $G(s)$  mostrati in figura.

c.1) Nei limiti della precisione consentita dal grafico, ricavare l'espressione analitica della funzione  $G(s)$ . Stimare in modo approssimato eventuali valori di  $\delta$ .

$$G(s) = \frac{1600(s - 0.5)(s + 2)}{s(s + 0.03)(s^2 + 4s + 40^2)}.$$

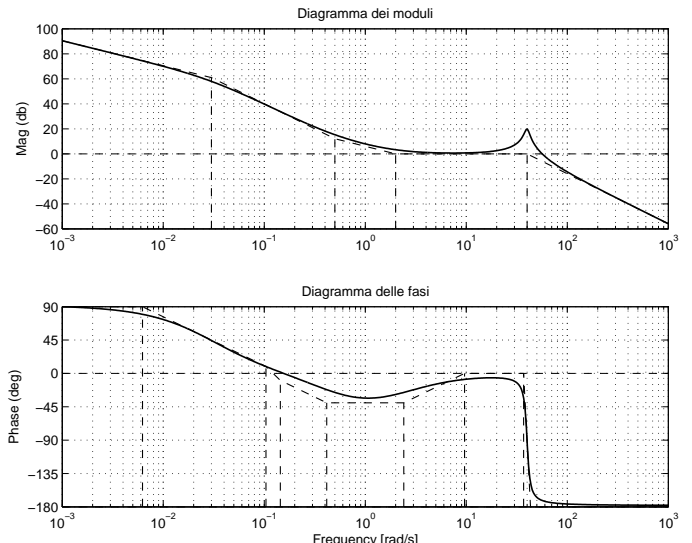
c.2) Calcolare la risposta a regime  $y_\infty(t)$  del sistema  $G(s)$  quando in ingresso è presente il segnale:

$$x(t) = 3 \sin(0.3t + \frac{\pi}{4}).$$

La risposta a regime del sistema  $G(s)$  al segnale dato è la seguente:

$$\begin{aligned} y_\infty(t) &= 3 |G(0.3j)| \sin(0.3t + \frac{\pi}{4} + \arg G(0.3j)) \\ &= 39.11 \sin(0.3t + \frac{\pi}{4} - 16.76^\circ). \end{aligned}$$

Infatti si ha che  $G(0.3j) = 13.04 e^{-16.76^\circ j}$ .



Soluzione:

c.1) La funzione di trasferimento del sistema è la seguente:

$$G(s) = \frac{1600(s - 0.5)(s + 2)}{s(s + 0.03)(s^2 + 4s + 40^2)}.$$

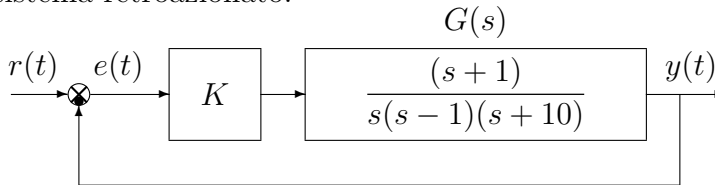
Il valore  $K = 1600$  si determina calcolando il modulo  $\gamma$  dell'approssimante  $G_\infty(s)$  in corrispondenza della pulsazione  $\omega = 40$ :

$$|G_\infty(s)|_{s=j40} = \left| \frac{-K}{s^2} \right|_{s=j40} = \frac{K}{(40^2)} = \gamma = 1 \quad \rightarrow \quad K = 1600.$$

Il coefficiente di smorzamento della coppia di poli complessi coniugati stabili è il seguente:

$$\delta = \frac{1}{2M_{\omega_n}} = \frac{1}{20} = 0.05.$$

d) Sia dato il seguente sistema retroazionato:



d.1) Tracciare qualitativamente il luogo delle radici del sistema retroazionato al variare del parametro  $K > 0$ . Determinare esattamente la posizione degli asintoti. Determinare la posizione di eventuali punti di diramazione “solo in modo qualitativo”.

*Sol.* L'equazione caratteristica del sistema retroazionato è:

$$1 + K_1 G_1(s) = 0 \quad \leftrightarrow \quad 1 + K \frac{(s + 1)}{s(s - 1)(s + 10)} = 0$$

dove  $K_1 = K$ . L'andamento qualitativo del luogo delle radici del sistema  $G_1(s)$  per  $K = K_1 > 0$  è mostrato in Fig. 3. Il luogo delle radici ha due asintoti verticali. Il centro degli asintoti è:

$$\sigma_a = \frac{1}{2}(-10 + 1 + 1) = -4.$$

L'intersezione con l'asse immaginario si calcola applicando il criterio di Routh alla seguente equazione caratteristica:

$$1 + K \frac{(s + 1)}{s(s - 1)(s + 10)} = 0 \quad \rightarrow \quad s^3 + 9s^2 + (K - 10)s + K = 0$$

La corrispondente tabella di Routh è la seguente

3	1	$K - 10$
2	9	$K$
1	$9(K - 10) - K$	
0	$K$	

Il sistema retroazionato è stabile se

$$8K - 90 > 0, \quad K > 0.$$

Il sistema retroazionato è stabile se

$$K > \frac{45}{4} = 11.25 = K^*$$

L'intersezione con l'asse immaginario si ha in corrispondenza della pulsazione:

$$\omega^* = \sqrt{\frac{K^*}{9}} = 1.118.$$

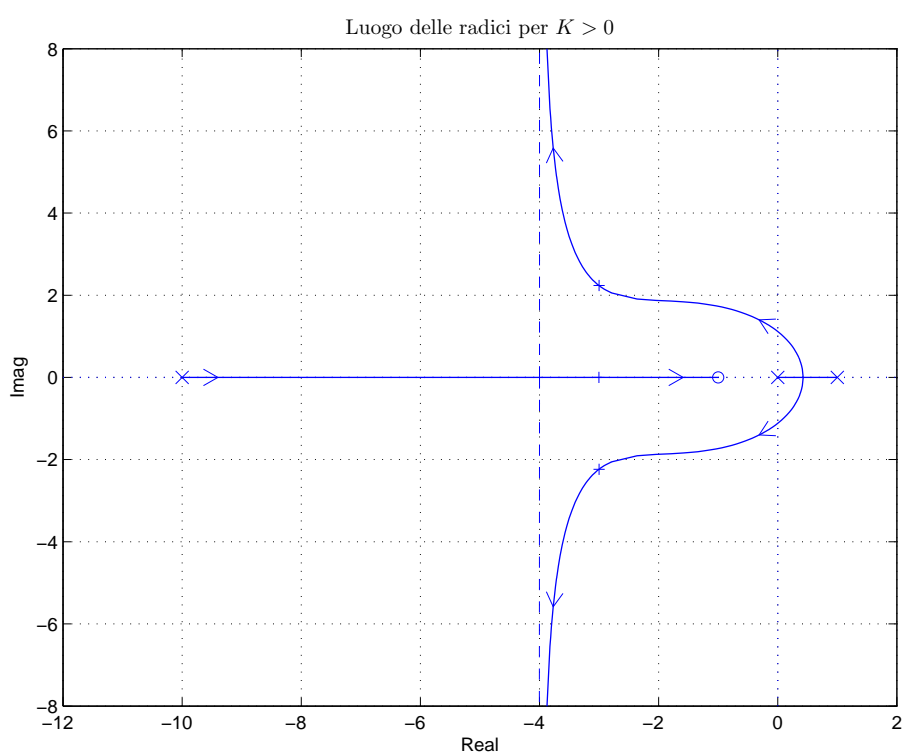


Figura 3: Luogo delle radici del sistema  $G_1(s)$  per  $K = K_1 > 0$

d.2) Sia data la seguente funzione di trasferimento:

$$G(s) = \frac{1}{m s^4 + (m+1)s^3 + (m+3)s^2 + 3s + 1}$$

Utilizzando la metodologia del contorno delle radici mostrare come si spostano sul piano complesso i poli della funzione  $G(s)$  al variare del parametro  $m > 0$ . Determinare la posizione di eventuali punti di diramazione “solo in modo qualitativo”.

*Sol.* I poli della funzione  $G(s)$  sono le soluzioni della seguente equazione:

$$m s^4 + (m+1)s^3 + (m+3)s^2 + 3s + 1 = 0$$

che puó essere riscritta nel seguente modo  $1 + m G_1(s) = 0$ :

$$s^3 + 3s^2 + 3s + 1 + m s^2(s^2 + s + 1) = 0 \quad \rightarrow \quad 1 + m \frac{s^2(s^2 + s + 1)}{s^3 + 3s^2 + 3s + 1} = 0$$

Mettendo in evidenza i poli e gli zeri della funzione  $G_1(s)$  si ottiene:

$$1 + \frac{m s^2[(s+0.5)^2 + 0.866^2]}{(s+1)^3} = 0$$

Il contorno delle radici al variare del parametro  $m > 0$  è mostrato in Fig. 4. Nel contorno delle radici è presente un solo asintoto coincidente con il semiasse reale negativo, percorso dall’infinito a finito.

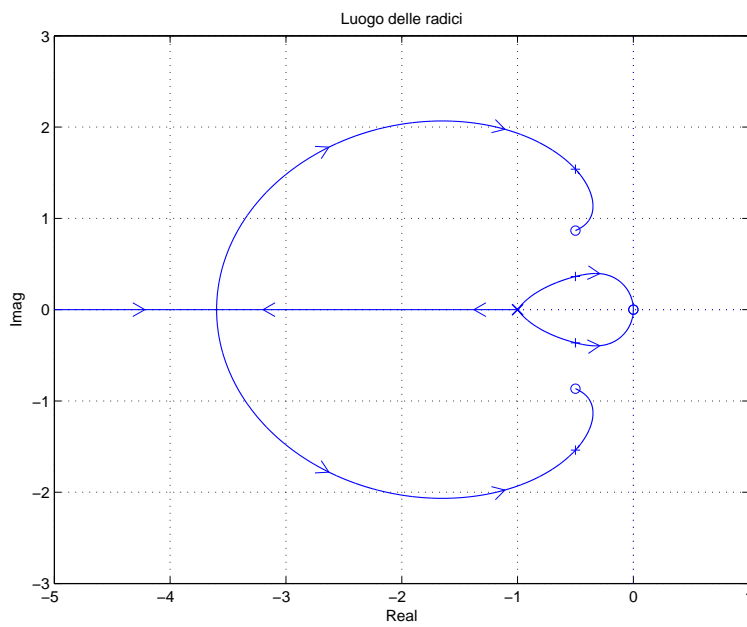
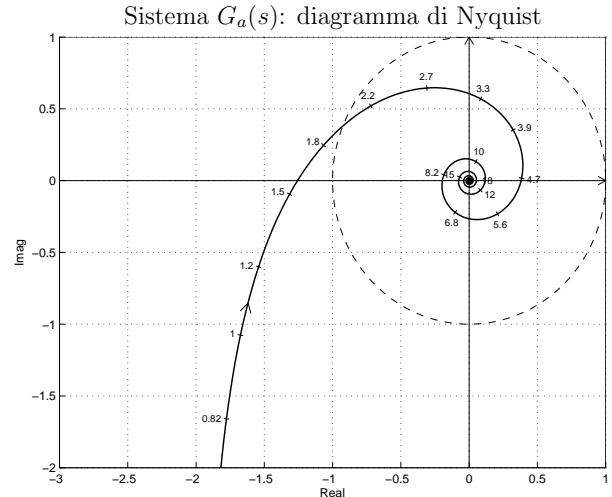


Figura 4: Luogo delle radici del sistema  $G_1(s)$  al variare del parametro  $m > 0$ .

- e) Per il sistema  $G_a(s)$  riportato a fianco, progettare una rete ritardatrice in grado da garantire al sistema compensato un margine di ampiezza  $M_\alpha = 5$ . Scegliere il valore della pulsazione  $\omega$  che si ritiene più opportuno;



*Sol.* La specifica sul margine di ampiezza  $M_\alpha = 5$  definisce completamente la posizione del punto  $B = M_B e^{j\varphi_B}$ :  $M_B = 0.2$  e  $\varphi_B = 180^\circ$ . La regione ammissibile è mostrata in grigio in Fig. 5. Il punto  $A = G_b(j\omega_A)$  scelto per la sintesi della rete correttrice è quello corrispondente alla pulsazione  $\omega_A = 1.2$ :

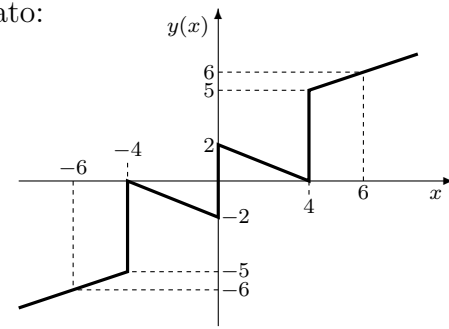
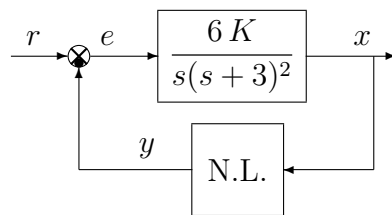
$$M_A = |G(j\omega_A)| = 1.655, \quad \varphi_A = \arg[G(j\omega_A)] = 201.28^\circ.$$

Sostituendo i valori di  $M$ ,  $\varphi$  e  $\omega = \omega_A$  all'interno delle formule di inversione si ottengono i valori dei parametri  $\tau_1 = 1.862$  e  $\tau_2 = 16.86$  della rete correttrice  $C(s)$ :

$$M = \frac{M_B}{M_A} = 0.121, \quad \varphi = \varphi_B - \varphi_A = -21.28^\circ \quad \rightarrow \quad C_2(s) = \frac{(1 + 1.862 s)}{(1 + 16.86 s)}.$$

Il diagramma di Nyquist delle funzioni  $G_b(s)$  e  $C_2(s)G_b(s)$  sono mostrati in Fig. 5.

- f) Si consideri il seguente sistema non lineare retroazionato:



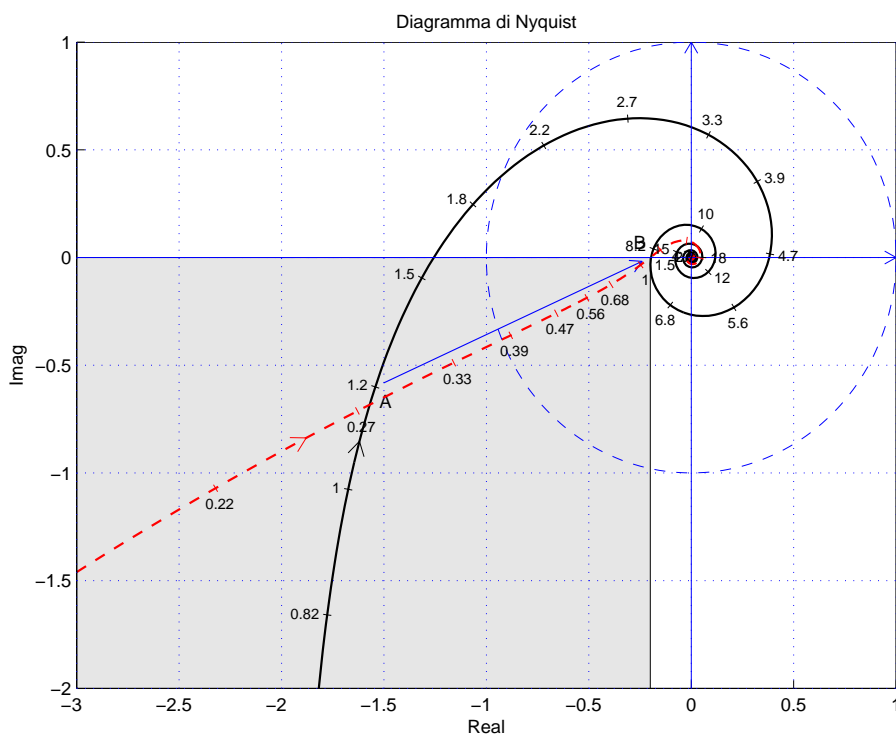


Figura 5: Diagrammi di Nyquist delle funzioni  $G_b(s)$  e  $C_2(s)G_b(s)$ .

- f.1) Posto  $K = 1$ , determinare per quale valore  $r_1$  dell'ingresso  $r$  il punto di lavoro del sistema retroazionato è  $(x_1, y_1) = (6, 6)$ .
- f.2) Disegnare in modo qualitativo l'andamento della funzione descrittiva  $F(X)$  della non linearità  $y(x)$  nell'intorno del punto  $(0, 0)$ . Utilizzare delle variabili (per esempio:  $m_1, m_2, \dots$ ) per rappresentare gli eventuali valori non noti minimi e massimi della funzione  $F(X)$ .
- f.3) Discutere “qualitativamente” (in funzione anche dei parametri  $m_1, m_2, \dots$ ) l'esistenza o meno di cicli limite nel sistema retroazionato al variare del guadagno  $K > 0$ .

*Soluzione*

- f.1) Il sistema  $G_1(s)$  è di tipo 1 per cui si ha:  $K_1 = \infty$ ,  $K_2 = 1$  e  $K_3 = 1$ . La retta di carico della parte lineare del sistema è una retta orizzontale di ordinata:

$$y = \frac{r}{K_2 K_3} = r \quad \rightarrow \quad r_1 = 6.$$

- f.2) L'andamento qualitativo della funzione descrittiva  $F(X)$  è mostrato in Fig. 6.

Per  $X < 4$  la funzione descrittiva  $F(X)$  coincide con quella di un relè ideale sommata ad una retta di pendenza negativa:

$$F(X) = \frac{8}{\pi X} - \frac{1}{2}.$$

Il valore  $m_1$  del primo minimo si ottiene dalla  $F(X)$  in corrispondenza di  $X = 4$ :

$$m_1 = F(X)|_{X=4} = \frac{2}{\pi} - \frac{1}{2} = 0.1366.$$

Il valore  $m_2$  del massimo intermedio può essere calcolato solo conoscendo la  $F(X)$  per  $X > 4$ . Per  $X \rightarrow \infty$  la  $F(X)$  tende al valore finale minimo  $m_3 = \frac{1}{2}$ .

- f.3) Per  $K = 1$ , il margine di ampiezza  $\bar{K}^*$  del sistema  $G_1(s)$  è  $\bar{K}^* = 9$ . Per  $K \neq 1$ , il margine di ampiezza  $K^*$  del sistema  $K G_1(s)$  è  $K^* = \frac{\bar{K}^*}{K}$ . Al variare di  $K^*$  si possono avere le seguenti condizioni di funzionamento:

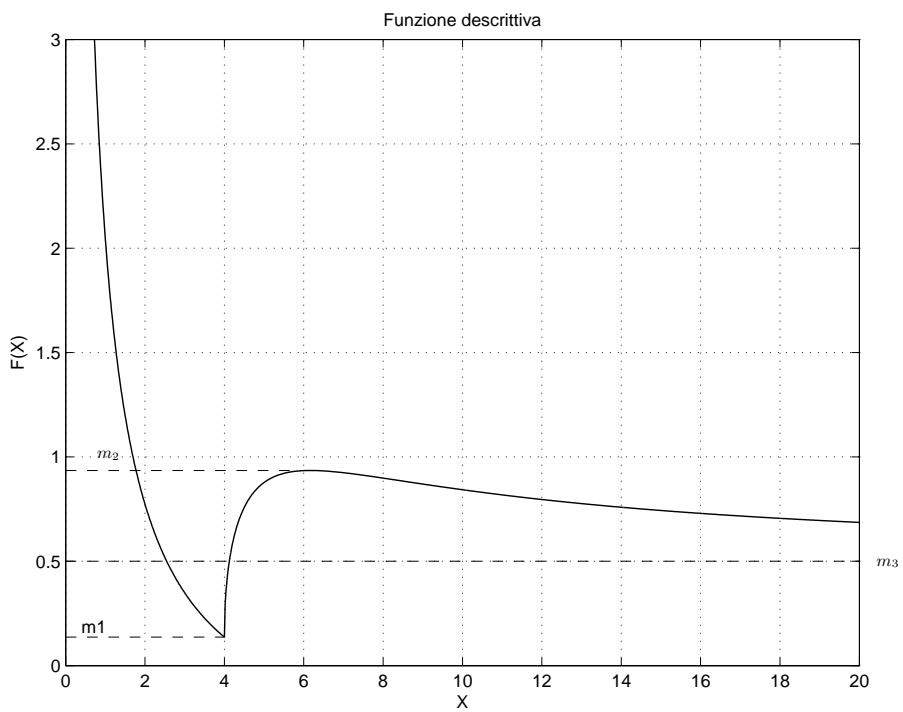


Figura 6: Andamento della funzione descrittiva  $F(X)$ .

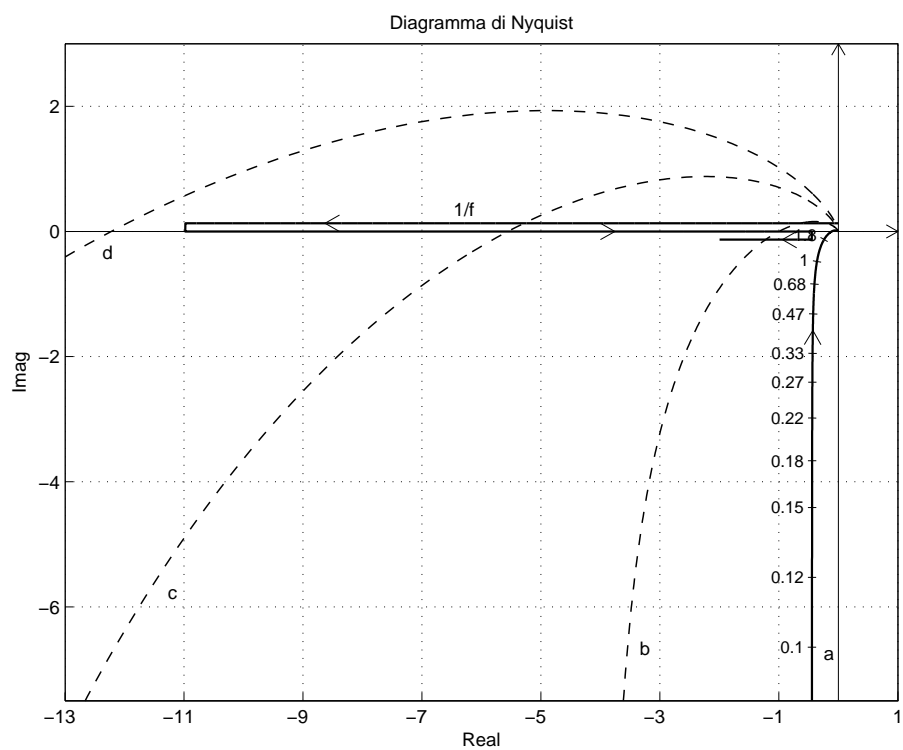


Figura 7: Discussione grafica al variare di  $K$ .

- a) Per  $K^* > m_2$ , il diagramma di Nyquist della  $G_1(s)$  interseca la funzione  $-1/F(X)$  in un solo punto a cui corrisponde un ciclo limite stabile.
  - b) Per  $m_3 < K^* < m_2$ , il diagramma di Nyquist della  $G_1(s)$  interseca la funzione  $-1/F(X)$  in tre punti: i due punti esterni corrispondono a due cicli limite stabili, il punto intermedio rappresenta un ciclo limite instabile.
  - c) Per  $m_1 < K^* < m_3$  il diagramma di Nyquist della  $G_1(s)$  interseca la funzione  $-1/F(X)$  in due punti: il primo corrisponde un ciclo limite stabile e il secondo ad un ciclo limite instabile.
  - d) Per  $K^* < m_1$  la funzione  $-1/F(X)$  è tutta interna al diagramma polare completo della funzione  $G_1(s)$  per cui non vi sono cicli limite e il sistema retroazionato è instabile.
- g) Utilizzando il metodo della “trasformazione bilineare”, discretizzare la funzione

$$D(s) = \frac{M(s)}{E(s)} = \frac{1 + 2s}{2 + s}$$

giungendo anche alla determinazione della corrispondente equazione alle differenze. Si utilizzi il periodo di campionamento  $T = 0.2$ .

*Soluzione.* Utilizzando il metodo della “trasformazione bilineare” si ottiene:

$$D(z) = \frac{1 + 2s}{2 + s} \Big|_{s=\frac{2(1-z^{-1})}{T(1+z^{-1})}} = \frac{0.2(1+z^{-1}) + 4(1-z^{-1})}{0.4(1+z^{-1}) + 2(1-z^{-1})} = \frac{4.2 - 3.8z^{-1}}{2.4 - 1.6z^{-1}} = \frac{M(z)}{E(z)}$$

da cui si ricava:

$$\begin{aligned} m(k) &= \frac{1}{2.4} [1.6m(k-1) + 4.2e(k) - 3.8e(k-1)] \\ &= 0.6667m(k-1) + 1.75e(k) - 1.5833e(k-1). \end{aligned}$$

Nome:	
Nr. Mat.	
Firma:	
C.L.:	Info.    Elet.    Telec.    Altro.

Si risponda alle seguenti domande.

1. Calcolare la trasformata di Laplace  $X(s)$  dei seguenti segnali temporali  $x(t)$ :

$$\mathcal{L}[3e^{5t} \sin(3t)] = \frac{9}{(s-5)^2 + 3^2}, \quad \mathcal{L}[3t^3 e^{-5t}] = \frac{18}{(s+5)^4}$$

2. Calcolare la trasformata di Laplace inversa  $g(t)$  delle seguente funzione di trasferimento  $G(s)$ :

$$\mathcal{L}^{-1}\left[\frac{8}{s(s+2)(s-2)}\right] = \mathcal{L}^{-1}\left[-\frac{2}{s} + \frac{1}{s+2} + \frac{1}{s-2}\right] = -2 + e^{-2t} + e^{2t}$$

3. Scrivere, in funzione dei segnali  $x(t)$  e  $y(t)$ , l'equazione differenziale corrispondente alla seguente funzione di trasferimento:

$$G(s) = \frac{Y(s)}{X(s)} = \frac{s^2 + 2}{(s+3)(s+1)^2} \quad \rightarrow \quad \ddot{y} + 5\dot{y} + 7y = \ddot{x} + 2x$$

4. Calcolare la risposta a regime  $y(t)$  del sistema  $G(s)$  quando in ingresso è presente il seguente segnale sinusoidale  $x(t)$ :

$$x(t) = 6 + 5 \cos(3t) \xrightarrow{\begin{array}{c} G(s) \\ \hline s+1 \\ \hline s+4 \end{array}} y(t) \simeq \frac{3}{2} + \sqrt{10} \cos(3t + \arctan 3 - \arctan \frac{3}{4})$$

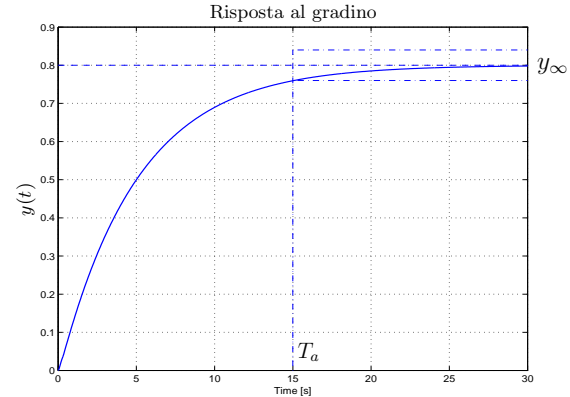
5. Disegnare l'andamento qualitativo  $y_1(t)$  della risposta al gradino unitario del seguente sistema:

$$G(s) = \frac{30(2+0.01s)(s^2 + 20s + 160)}{(2s+10)(15s+3)(s^2 + 10s + 400)}$$

Calcolare inoltre:

- il valore a regime  $y_\infty$  della risposta al gradino per  $t \rightarrow \infty$ ;
- il tempo di assestamento  $T_a$  della risposta al gradino  $y_1(t)$ ;
- il periodo  $T_\omega$  dell'eventuale oscillazione smorzata presente sul segnale  $y_1(t)$ :

$$y_\infty = 0.8, \quad T_a \simeq 15 \text{ s}, \quad T_\omega \simeq \infty \text{ s.}$$



6. Calcolare l'evoluzione libera del sistema  $3\dot{y}(t) + 2y(t) = 0$  partendo dalla condizione iniziale  $y(0) = 4$ .

Applicando la trasformata di Laplace si ha:

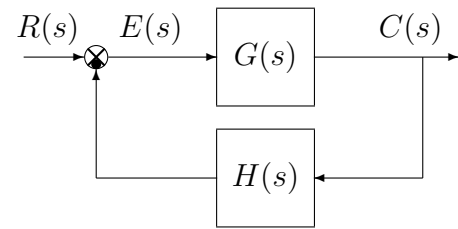
$$3(sY(s) - 4) + 2Y(s) = 0 \quad \rightarrow \quad Y(s) = \frac{4}{s+0.667} \quad \rightarrow \quad y(t) = 4e^{-0.667t}.$$

7. Scrivere il modulo  $M(\omega) = |G(j\omega)|$  e la fase  $\varphi(\omega) = \arg G(j\omega)$  della funzione di risposta armonica del seguente sistema  $G(s)$ :

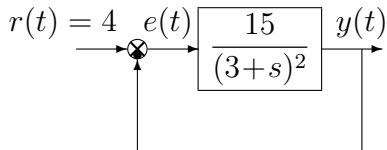
$$G(s) = \frac{(3s+4)}{s(s+2)} e^{-5s} \quad \rightarrow \quad \begin{cases} M(\omega) = \frac{\sqrt{16+9\omega^2}}{\omega\sqrt{\omega^2+4}} \\ \varphi(\omega) = \arctan \frac{3\omega}{4} - \frac{\pi}{2} - \arctan \frac{\omega}{2} - 5\omega \end{cases}$$

8. Si consideri il sistema retroazionato riportato di fianco. Scrivere il legame che lega la variazione relativa del sistema  $G(s)$  alla variazione relativa del sistema retroazionato  $G_0(s)$  quando varia un parametro  $\alpha$  interno alla funzione di trasferimento  $G(s)$ :

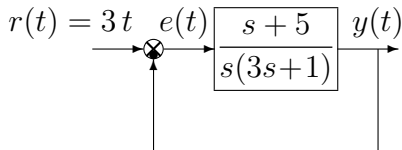
$$\frac{\Delta G_0(s)}{G_0(s)} = \frac{1}{1 + G(s)H(s)} \frac{\Delta G(s)}{G(s)}$$



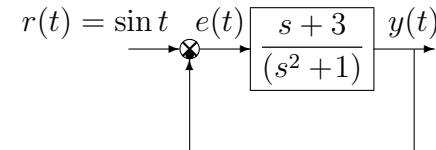
9. Calcolare l'errore a regime  $e(\infty)$  per i seguenti sistemi retroazionati:



$$e(\infty) = \frac{36}{24} = 1.5$$



$$e(\infty) = \frac{3}{5}$$



$$e(\infty) = 0$$

10. Calcolare la  $\mathcal{Z}$ -trasformata  $X(z)$  dei seguenti segnali  $x(n)$ :

$$x(n) = (-1)^n \quad \rightarrow \quad X(z) = \frac{z}{z+1} \quad x(n) = 2n \quad \rightarrow \quad X(z) = \frac{2z}{(z-1)^2}$$

11. Il sistema dinamico discreto  $G(z) = \frac{1}{z^2(z-1)}$

è asintoticamente stabile  è semplicemente stabile  è instabile

12. Il valore a regime  $x(\infty)$  della sequenza  $x(k)$  corrispondente alla funzione  $X(z) = \frac{z+1}{(z-1)(z-0.5)}$  è:

$x(\infty) = 0$    $x(\infty) = 1$    $x(\infty) = 2$    $x(\infty) = 4$

13. La funzione di risposta armonica  $F(\omega)$  di un sistema discreto  $G(z)$  si determina nel seguente modo:

$F(\omega) = G(j\omega)$    $F(\omega) = G(j\omega T)$    $F(\omega) = G(e^{j\omega})$    $F(\omega) = G(e^{j\omega T})$

14. Il contorno delle radici studia le curve sul piano complesso descritte dalle radici dell'equazione caratteristica al variare (da 0 all'infinito)

delle sole costanti di tempo relative ad un polo o ad uno zero  
 di un qualunque parametro presente all'interno dell'equazione caratteristica  
 di un qualunque parametro che entra linearmente nell'equazione caratteristica

15. La funzione descrittiva  $F(X)$  di un relè ideale di ampiezza  $Y_1$  è:

$F(X) = \frac{\pi X}{4Y_1}$    $F(X) = \frac{\pi Y_1}{4X}$    $F(X) = \frac{4X}{\pi Y_1}$    $F(X) = \frac{4Y_1}{\pi X}$

16. Tracciare i diagrammi di bode (moduli e fasi) di una rete ritardatrice  $C(s) = \frac{(1+\tau_1 s)}{(1+\tau_2 s)}$ , ( $\tau_1 < \tau_2$ ):

